

УДК 621.371 22

ПОВЕРХНОСТНЫЕ ВОЛНЫ В АНИЗОТРОПНО ПРОВОДЯЩЕЙ ПЛОСКОСТИ, НАХОДЯЩЕЙСЯ В МАГНИТОАКТИВНОЙ СРЕДЕ

Л. Г. Нарышкина

Использование замедляющих решеток в комбинации с анизотропными и особенно гиротропными кристаллами значительно изменяет свойства последних. Предлагаемая ниже простейшая модель позволяет дать аналитическое исследование ряда этих свойств.

Пусть плоскость решетки совпадает с плоскостью XOY , решетка является идеально проводящей вдоль оси OX и находится внутри гиротропного и анизотропного кристалла, ось которого перпендикулярна плоскости решетки. Постоянные кристалла определяются выражением

$$\varepsilon = \begin{pmatrix} \varepsilon_1 & ig & 0 \\ -ig & \varepsilon_1 & 0 \\ 0 & 0 & \varepsilon_2 \end{pmatrix}, \quad i^2 = 1. \quad (1)$$

Границные условия на поверхности решетки задаются в приближении анизотропно проводящей поверхности [1]. Это приближение дает хорошие результаты, когда период решетки мал по сравнению с длиной волны.

Решения уравнений Максвелла будем искать в виде системы бегущих поверхностных волн, экспоненциально убывающих при удалении от плоскости $z = 0$:

$$A = A_0 \exp(-ik_x x - ik_y y - z|z| + i\omega t), \quad (2)$$

где A есть любая из компонент поля и удовлетворяет уравнению

$$\varepsilon_2 z^4 - z^2 \left[k_{\perp}^2 (\varepsilon_1 + \varepsilon_2) - 2\varepsilon_1 \varepsilon_2 k_0^2 \right] + \left(k_{\perp}^2 - \varepsilon_2 k_0^2 \right) \left[\varepsilon_1 (k_{\perp}^2 - \varepsilon_1 k_0^2) + k_0^2 g^2 \right] = 0, \quad (3)$$

$k_{\perp} = \sqrt{k_x^2 + k_y^2}$ и $k_0 = \omega/c$. Однородная система уравнений Максвелла и граничные условия на поверхности решетки приводят к следующему дисперсионному уравнению:

$$\left[\frac{\varepsilon_1 (k_{\perp}^2 - \varepsilon_1 k_0^2) + g^2 k_0^2}{\varepsilon_2 (k_{\perp}^2 - \varepsilon_2 k_0^2)} \right]^{1/2} = \frac{k_x^2 - \varepsilon_1 k_0^2}{\varepsilon_2 k_0^2 - k_x^2} \operatorname{sgn} (k_{\perp}^2 - \varepsilon_2 k_0^2). \quad (4)$$

Результаты детального исследования уравнения (4) приведены на рис. 1. По осям координат на этом рисунке откладываются величины $u = \varepsilon_1 / |g|$, $v = \varepsilon_2 / |g|$. В результате на плоскости u, v получается ряд областей, ограниченных следующими сплошными кривыми: а) $v = u - 1$, б) $v = u - 12u/4u^2 + 9$, в) $v = u$, г) $v = u + 1$,

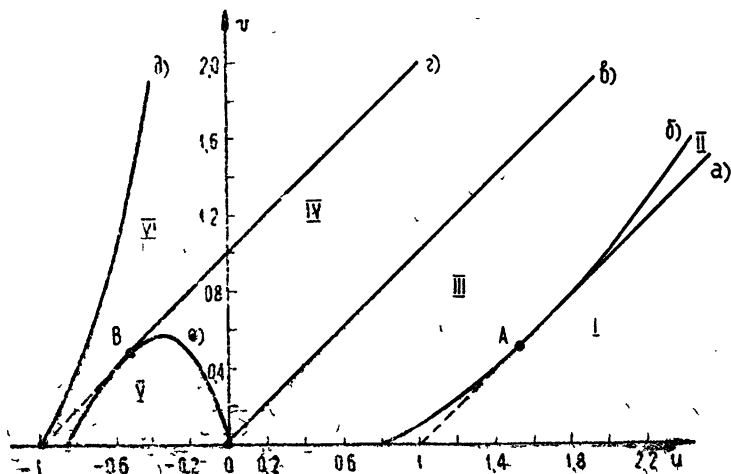


Рис. 1.

д) $v = u - 1/u$, е) $v = u - 4u/4u^2 + 1$. При $u > 0$ в областях I и IV поверхность волна существует при всех значениях угла φ , причем значения k_\perp монотонно меняются в пределах

$$k_n < k_\perp < \infty \quad \text{и} \quad k_0\sqrt{\epsilon_2} < k_\perp < \infty \quad (5)$$

в указанных областях соответственно. Здесь k_n определяется соотношением

$$k_n^2 = \frac{k_0^2}{2(\epsilon_1 - \epsilon_2)} \left\{ \delta + [\delta^2 + 4\epsilon_2 g^2(\epsilon_1 - \epsilon_2)]^{1/2} \right\}, \quad \delta = \epsilon_1^2 - \epsilon_1 \epsilon_2 - g^2. \quad (6)$$

В областях II и IV поверхность волна существует при углах

$$0 < \varphi < \varphi_1, \quad \varphi_2 < \varphi < \pi/2, \quad (7)$$

где

$$\cos^2 \varphi_{1,2} = \frac{(\epsilon_2 - \epsilon_1)[2\epsilon_1(\epsilon_2 - \epsilon_1) + g^2 \pm |g| \sqrt{g^2 - (\epsilon_1 - \epsilon_2)^2}]}{2|g| \{2\epsilon_2|g| - (\epsilon_1 + \epsilon_2)\sqrt{g^2 - (\epsilon_1 - \epsilon_2)^2}\}}, \quad (8)$$

причем граничные значения k_\perp для углов φ_1 и φ_2 оказываются равными

$$k_{1,2}^2 = \frac{2\epsilon_2|g|k_0^2(|g| \mp \sqrt{g^2 - (\epsilon_1 - \epsilon_2)^2})}{(\epsilon_1 - \epsilon_2)^2}, \quad (9)$$

где индексу 1 в (8) и (9) соответствует верхний знак, индексу 2 — нижний. В области III допустимые углы определяются вторым неравенством в (7) и k_\perp монотонно меняется в пределах

$$k_2 < k_\perp < \infty. \quad (10)$$

Заметим, что при углах $\varphi \approx \pi/2$ уравнение (4) имеет простое решение в явном виде:

$$k_\perp = \frac{\sqrt{\epsilon_1 \epsilon_2}}{\cos \varphi} k_0, \quad (11)$$

причем очень малые значения $\cos \varphi$ ограничены условием применимости приближения анизотропно проводящей плоскости.

При $u < 0$ в области IV поверхность волна существует при углах

$$0 < \varphi < \varphi_1, \quad \varphi_2 < \varphi < \pi/2, \quad (12)$$

причем с ростом угла k_\perp монотонно меняется в пределах

$$k_0\sqrt{\epsilon_2} < k_\perp < k_1, \quad k_2 < k_\perp < k_0, \quad (13)$$

где k_1 и k_2 определяются соотношением (9). В области V реализуются первые неравенства из (12) и (13). И, наконец, в области VI поверхность волна существует при всех значениях углов и диапазоне допустимых значений k_\perp задается вторым неравенством (13) с заменой k_2 на $k_0\sqrt{\epsilon_2}$.

Заметим, что если для замедления используется решетка с ферритом, то для случая, когда подмагничивающее поле перпендикулярно плоскости решетки, можно использовать результаты предыдущего исследования. В самом деле, пусть тензор магнитной проницаемости

$$\hat{\mu} = \begin{pmatrix} \mu_1 - i\mu_3 & 0 \\ i\mu_3 & \mu_1 & 0 \\ 0 & 0 & \mu_2 \end{pmatrix} \quad (14)$$

и диэлектрическая проницаемость равна ϵ . Тогда оказывается, что соответствующее дисперсионное уравнение может быть получено из (4) заменой $\epsilon_1 \rightarrow \epsilon\mu_1$, $\epsilon_2 \rightarrow \epsilon\mu_2$, $g \rightarrow \epsilon\nu_2$.

Тензором (1) описываются свойства холодной электронной плазмы в магнитном поле, перпендикулярном

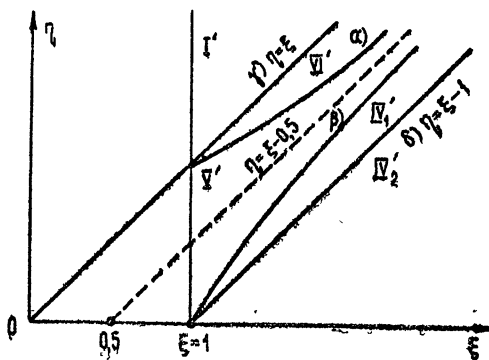


Рис. 2.

замедляющей плоскости. Мы опустим детали соответствующего алгебраического исследования в этом случае и приведем его результаты на рис. 2. На этом рисунке введены безразмерные параметры $\xi = \omega^2/\omega_0^2$ и $\eta = \omega_H^2/\omega_0^2$, где ω_0 и ω_H — плазменная и гиromагнитная частоты плазмы. Верхняя полуплоскость на рис. 1 соответствует областям $\xi > 1$. Кривая ϵ рис. 1 переходит в следующие две кривые

$$\eta = \frac{8\xi^2 - 4\xi - 1 \pm (8\xi + 1)^{1/2}}{8\xi}, \quad (15)$$

изображенные на рис. 2 в виде кривых α и β). Кроме того, на рис. 2 изображены прямые γ : $\xi = \eta$, δ : $\xi = \eta + 1$, ϵ : $\xi = 1$, разграничающие первую четверть в переменных ξ и η на ряд областей I' , IV' , V' , VI' . Взаимное соответствие областей на рис. 1 и рис. 2 следующее. В область I' переходит область I рис. 1, за исключением части этой области между пунктирным отрезком прямой α) и кривой β). В область VI' между прямой γ и кривой α) переходит часть области VI , заключенная между пунктирной частью прямой γ), кривой ϵ) и осью абсцисс. Вся область V переходит в область V' . И, наконец, область IV целиком переходит в области IV'_1 и IV'_2 между кривой β) и осью ξ , причем прямая δ) соответствует оси v на рис. 1, и IV'_1 соответствует $u < 0$, а IV'_2 — $u > 0$. Остальные части плоскости u , v рис. 1 для плазмы не реализуются.

ЛИТЕРАТУРА

1. Л. А. Вайнштейн, Электромагнитные волны, изд. Сов. радио, М., 1957.

Московский государственный педагогический институт
им. В. И. Ленина

Поступила в редакцию
28 апреля 1969 г.

УДК 533.901 : 621.371

О ВЛИЯНИИ НЕЛИНЕЙНЫХ ЭФФЕКТОВ НА РЕЗОНАНСНЫЕ СВОЙСТВА ГАЗОРАЗРЯДНОЙ ПЛАЗМЫ В МАГНИТНОМ ПОЛЕ*

Н. В. Арефьев, В. Б. Гильденбург, Г. А. Марков

Вопросы нелинейного взаимодействия высокочастотных полей с резонирующими плазменными объектами составляют в настоящее время весьма важную физическую задачу, тесно связанную с рядом проблем динамики, нагрева и микроволновой диагностики плазмы.

В настоящем сообщении излагаются результаты экспериментального исследования нелинейных явлений, возникающих в газоразрядной плазме на так называемых резонансах Тонкса—Датнера [1, 2]. Последние наблюдались в виде серии пиков поглощения на осциллограммах «огражденная мощность — разрядный ток» при помещении разрядной трубки внутрь прямоугольного волновода перпендикулярно направлению распространения и электрическому полю падающей волны H_{01} . Новыми по сравнению с аналогичными экспериментами, выполненными ранее [3, 4], явились следующие два момента: а) наличие продольного подмагничивания плазмы (особенно существенного на гармониках гиростабильности); б) варьирование давления в разрядной трубке, позволившее наряду с «ионизационной» нелинейностью [3, 4] реализовать в области низких давлений также и не наблюдавшуюся ранее «температурную» нелинейность [5], связанную с понижением плотности плазмы при ее нагреве ВЧ полем. Заметим, что речь идет здесь только о нелинейности на основной частоте, генерация высших гармоник не рассматривается.

Условия эксперимента. Напряженность продольного магнитного поля H_0 составляла от 150 до 950 э; его неоднородность на облучаемой части разряда не превышала 10%. Разрядная трубка помещалась в пучность электрического поля волны (с одного конца волновод был закорочен) и заполнялась воздухом в режиме непрерывной откачки.

* Доклад на II Всесоюзной конференции по физике низкотемпературной плазмы, Минск, 1968.